

Discretisation Volume Fini (FV) des EDPs

I Discretisation VF de $\text{eq. elliptiques/paraboliques}$ en dimension 1
 \rightarrow TP/TD

II Discretisation VF de $\text{eqs. hyperboliques scalaires}$ en dimension 1
 \rightarrow TD
 \rightarrow TP

III Extension à la dimension $d=2,3$ des schémas VF pour les $\text{eqs elliptiques/paraboliques}$
 \rightarrow TD
 \rightarrow Modélisation stratigraphique (sédimentologie) TP 1^{re} partie

IV Extension du cas hyperbolique à la dimension $d=2,3$
 \rightarrow TD \rightarrow TP sédimentologie 2^{ème} partie

I Cas elliptique/parabolique en dimension 2

$$(E) \begin{cases} -u''(x) = f(x) & x \in (0, L) \\ u(0) = u(L) = 0 \end{cases}$$

$$H_0^1(0, L) = \left\{ v \in L^2(0, L) \text{ t.q. } \int_0^L |v'|^2 dx < +\infty, u(0) = u(L) = 0 \right\}$$

$$L^2(0, L) = \left\{ v: (0, L) \rightarrow \mathbb{R} \text{ mesurable t.q. } \int_0^L |v(x)|^2 dx < +\infty \right\}$$

Formulation variationnelle (a faible) de (E)

$$v \in H_0^1(0, L)$$

formulation conservative: $(-u'(x))' = f(x)$

$$\int_0^L (-u'(x))' v(x) dx = \int_0^L f(x) v(x) dx$$

$$\int_0^L \left[(-u'(x)v(x))' + u'(x)v'(x) \right] dx = \int_0^L f(x) v(x) dx$$

$$- \underbrace{u'(L)v(L)}_0 + \underbrace{u'(0)v(0)}_0 + \int_0^L u'(x)v'(x) dx = \int_0^L f(x) v(x) dx$$

(FV) Formulation variationnelle : trouver $u \in H_0^1(0,L)$ t.q.

$$\int_0^L u'(x)v'(x) dx = \int_0^L f(x)v(x) dx \quad \forall v \in H_0^1(0,L)$$

Prop : (FV) admet une solution unique d'après Lax Milgram

$L^2(0, L)$ est un espace de Hilbert muni du produit scalaire

$$\langle u, v \rangle_{L^2} = \int_0^L u(x) v(x) dx$$

avec la norme associée $\|v\|_{L^2} = \sqrt{\int_0^L |v|^2 dx} = \sqrt{\langle v, v \rangle_{L^2}}$

$H_0^1(0, L)$ est un espace de Hilbert muni du produit scalaire

$$\langle u, v \rangle_{H_0^1} = \int_0^L u'(x) v'(x) dx$$

avec la norme associée $\|v\|_{H_0^1} = \sqrt{\int_0^L |v'(x)|^2 dx} = \sqrt{\langle v, v \rangle_{H_0^1}}$

Inégalité de Poincaré : $\forall v \in H_0^1(0, L), \quad \|v\|_{L^2} \leq L \|v\|_{H_0^1}$

preuve :

$$u(x) = \int_0^x u'(y) dy$$

$$\Rightarrow |u(x)| \leq \int_0^x |u'(y)| dy \leq \int_0^L 1 \times |u'(y)| dy$$

$$\leq \underbrace{\left(\sqrt{\int_0^L (1)^2 dx} \right)}_{\sqrt{L}} \underbrace{\left(\sqrt{\int_0^L |u'(y)|^2 dy} \right)}_{\|u\|_{H_0^1}}$$

$$\Rightarrow \int_0^L |u(x)|^2 dx \leq L \|u\|_{H_0^1}^2 \int_0^L 1 dx = L^2 \|u\|_{H_0^1}^2$$

$$\Rightarrow \|u\|_{L^2} \leq L \|u\|_{H_0^1}$$

Stabilité de la solution: la solution de (EV) vérifie
 l'estimation a priori $\|u\|_{H_0^1} \leq L \|f\|_L$

preuve: on pose $v = u$ dans (EV)

$$\int_0^L u'(x) u'(x) dx = \int_0^L f(x) u(x) dx$$

↙ c.s.

$$\|u\|_{H_0^1}^2 \leq \|f\|_L \|u\|_L$$

$$\leq \|f\|_L L \|u\|_{H_0^1}$$

$$\Rightarrow \|u\|_{H_0^1} \leq L \|f\|_L$$

Rq: l'estimation a priori + la linéarité de (EV) implique l'unicité de la solution

en effet supposons qu'il existe deux solutions $u^{(2)}$ et $u^{(1)}$ de EV

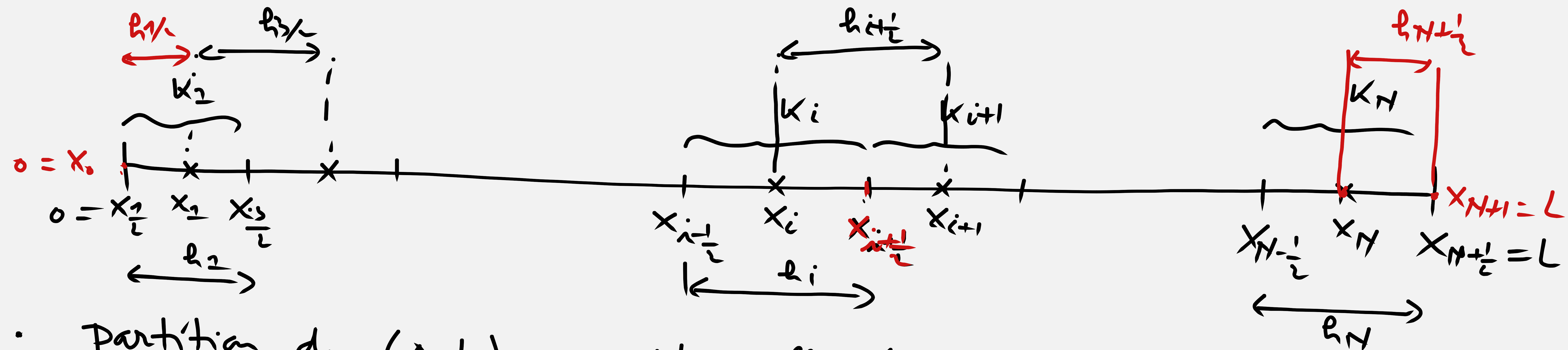
$$\Rightarrow \int_0^L (u^{(1)})' v' dx = \int_0^L f v \quad \forall v \in H_0^1$$

$$\int_0^L (u^{(2)})' v' dx = \int_0^L f v \quad \forall v \in H_0^1$$

$$\Rightarrow \int_0^L \underbrace{(u^{(2)} - u^{(1)})'}_{w \in H_0^1} v' dx = 0 \quad \forall v \in H_0^1$$

$$\Rightarrow \|u^{(2)} - u^{(1)}\|_{H_0^1} \leq C \overset{0}{\|0\|} = 0 \Rightarrow u^{(2)} = u^{(1)}$$

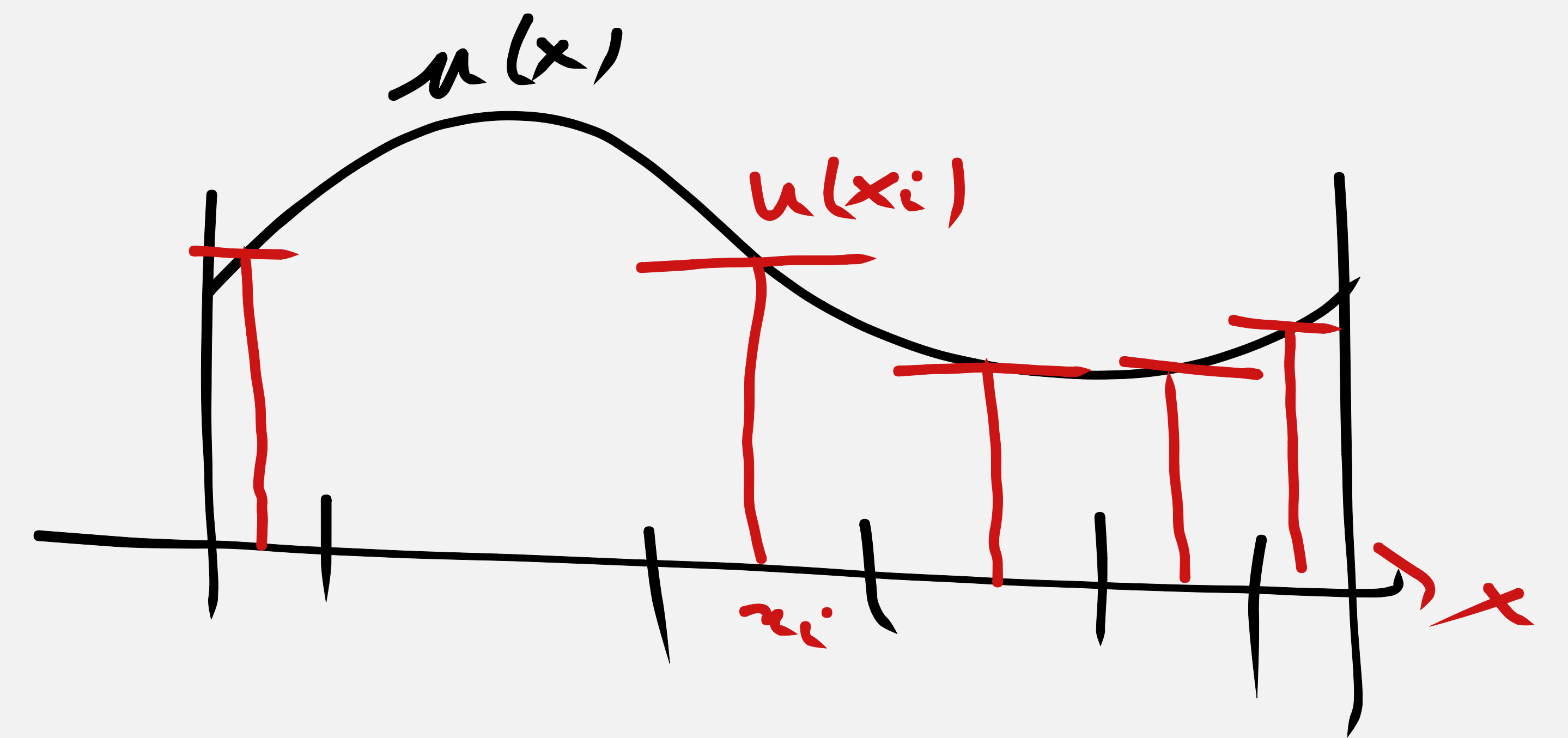
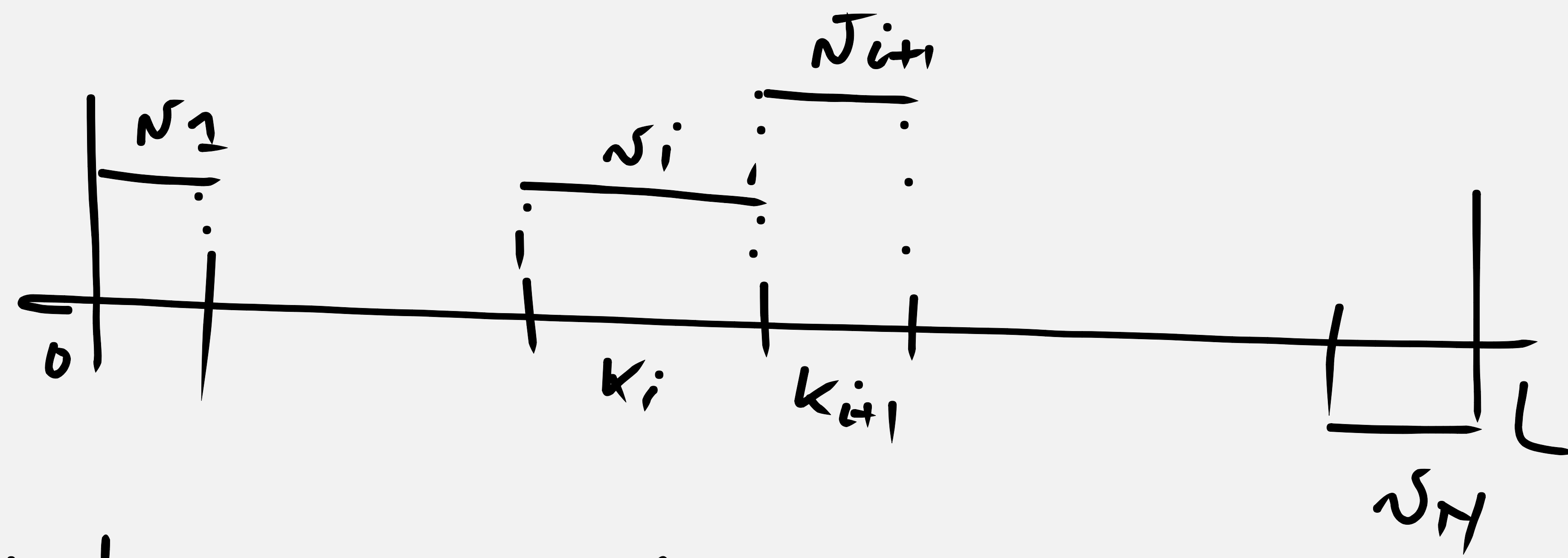
Discretisation du domaine $(0, L)$ "maillage"



- partition de $(0, L)$ en N mailles (volume de controle) $K_i = [x_{i-1/2}, x_{i+1/2}]$
 $0 = x_{1/2} < x_{3/2} < \dots < x_{i-1/2} < x_{i+1/2} < \dots < x_{N+1/2} = L$
 $i = 1, \dots, N$
- Centres des mailles $x_i = \frac{x_{i+1/2} + x_{i-1/2}}{2}$, $i = 1, \dots, N$
- $h_i = |x_{i+1/2} - x_{i-1/2}|$, $i = 1, \dots, N$
- $h_{i+1/2} = |x_{i+1} - x_i|$, $i = 0, \dots, N$
- $h = \max_{i=1, \dots, N} h_i$

Discretisation de l'espace des solutions

$$V_h = \left\{ v(x) = v_i \in \mathbb{R} \quad \forall x \in K_i, \quad \forall i=1, \dots, N \right\}$$



Discretisation non conforme car $V_h \not\subset H_0^1(0, L)$

$$\dim V_h = N$$

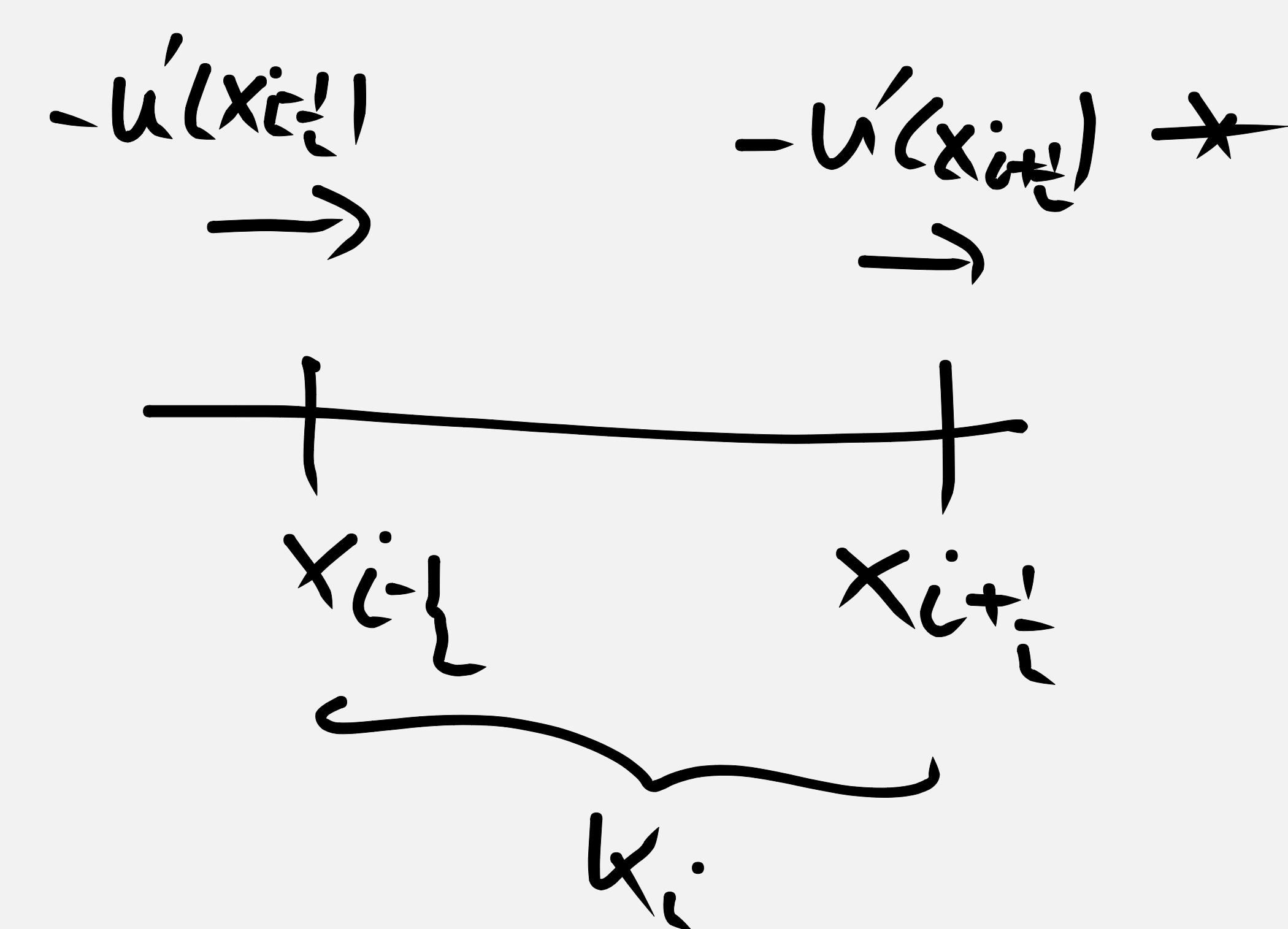
Interpolant $I_h : C^0(0, L) \rightarrow V_h$

$$u \mapsto u_h \in V_h \quad \text{t.q.} \quad u_i = u(x_i)$$

Discretisation de l'équation :

* on part de la forme conservative $(-u'(x))' = f(x)$

* on intègre dans chaque maille $\int_{x_{i-\frac{1}{2}}}^{x_{i+\frac{1}{2}}} (-u'(x))' dx = \int_{K_i} f(x) dx$

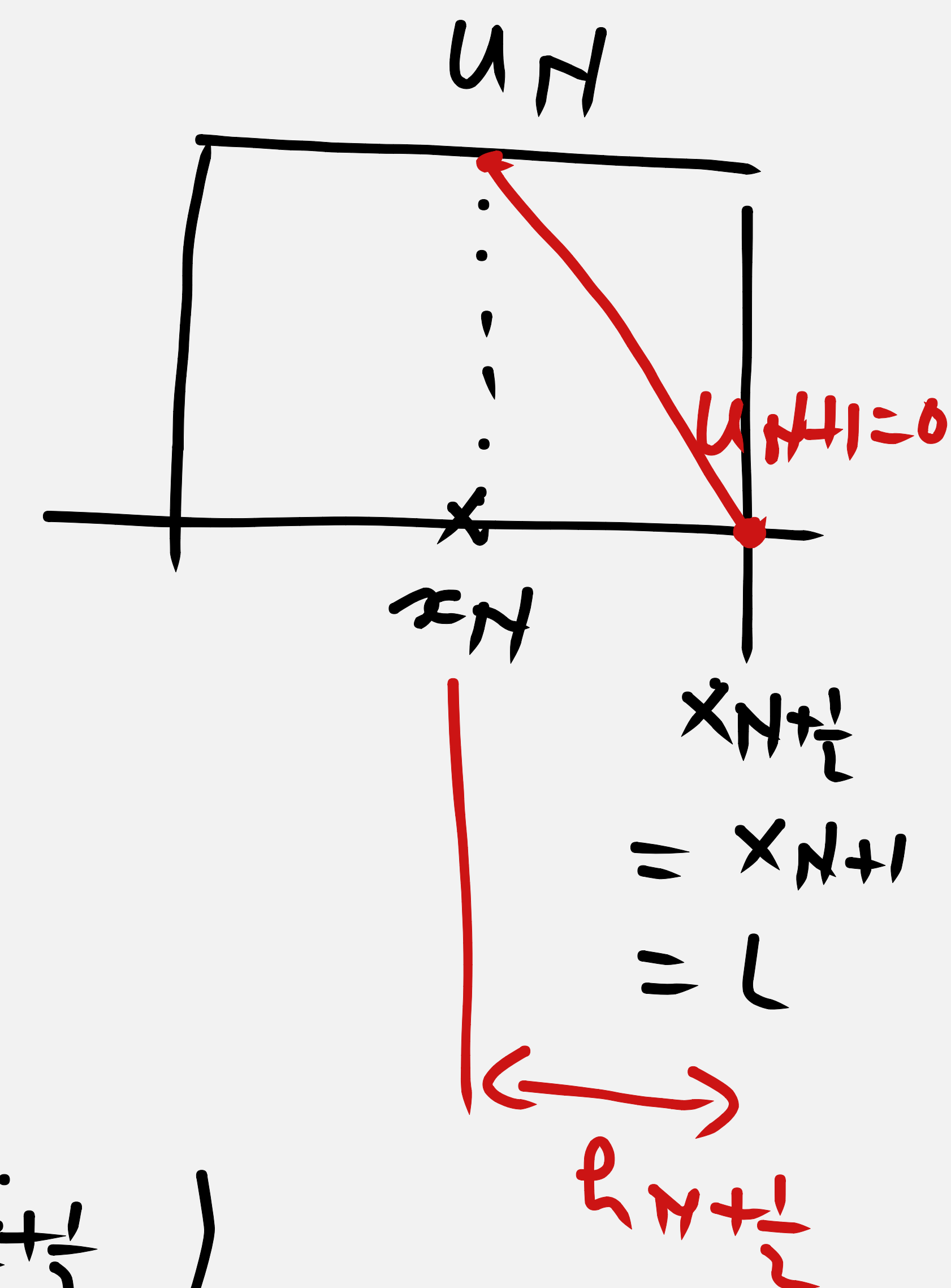
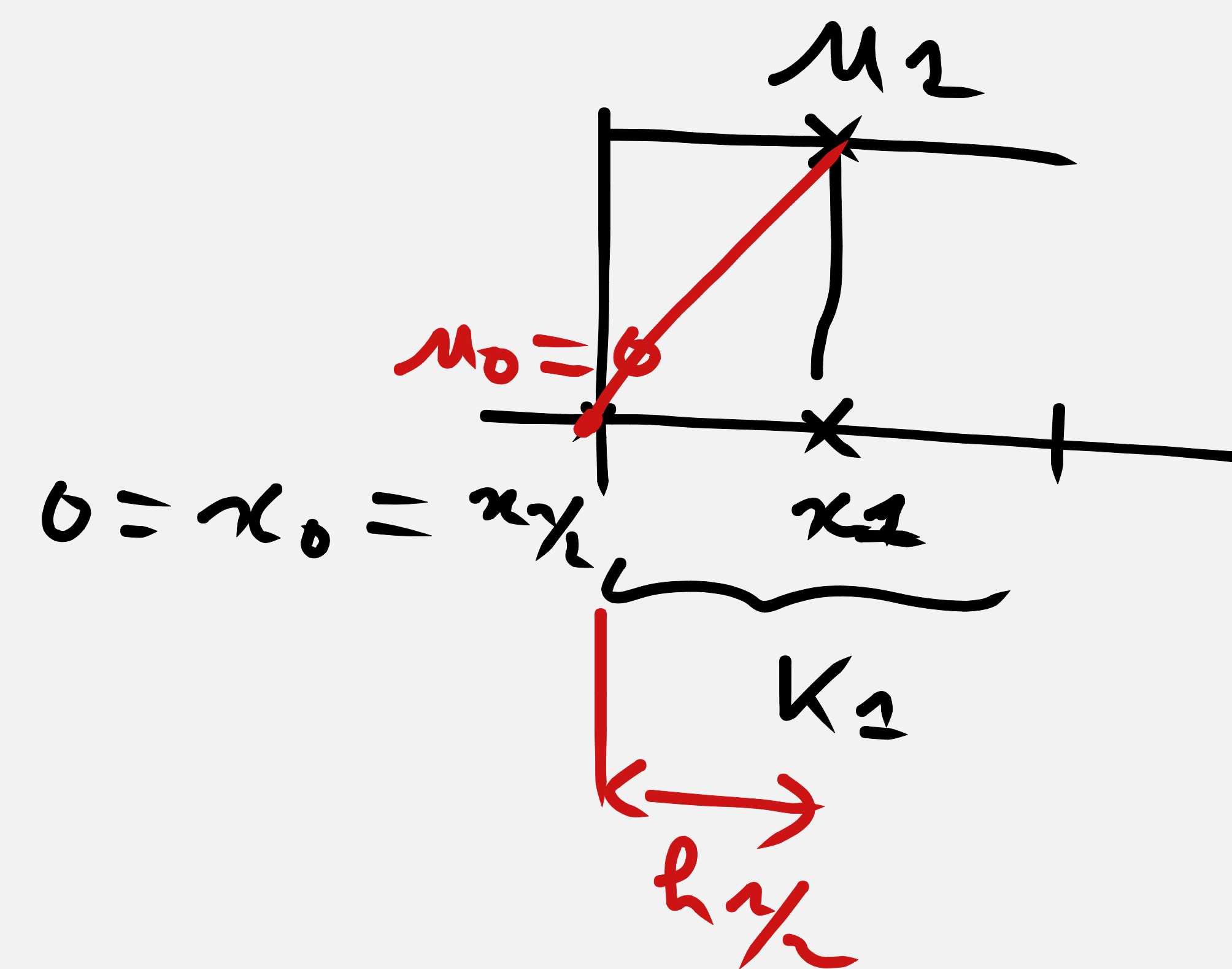
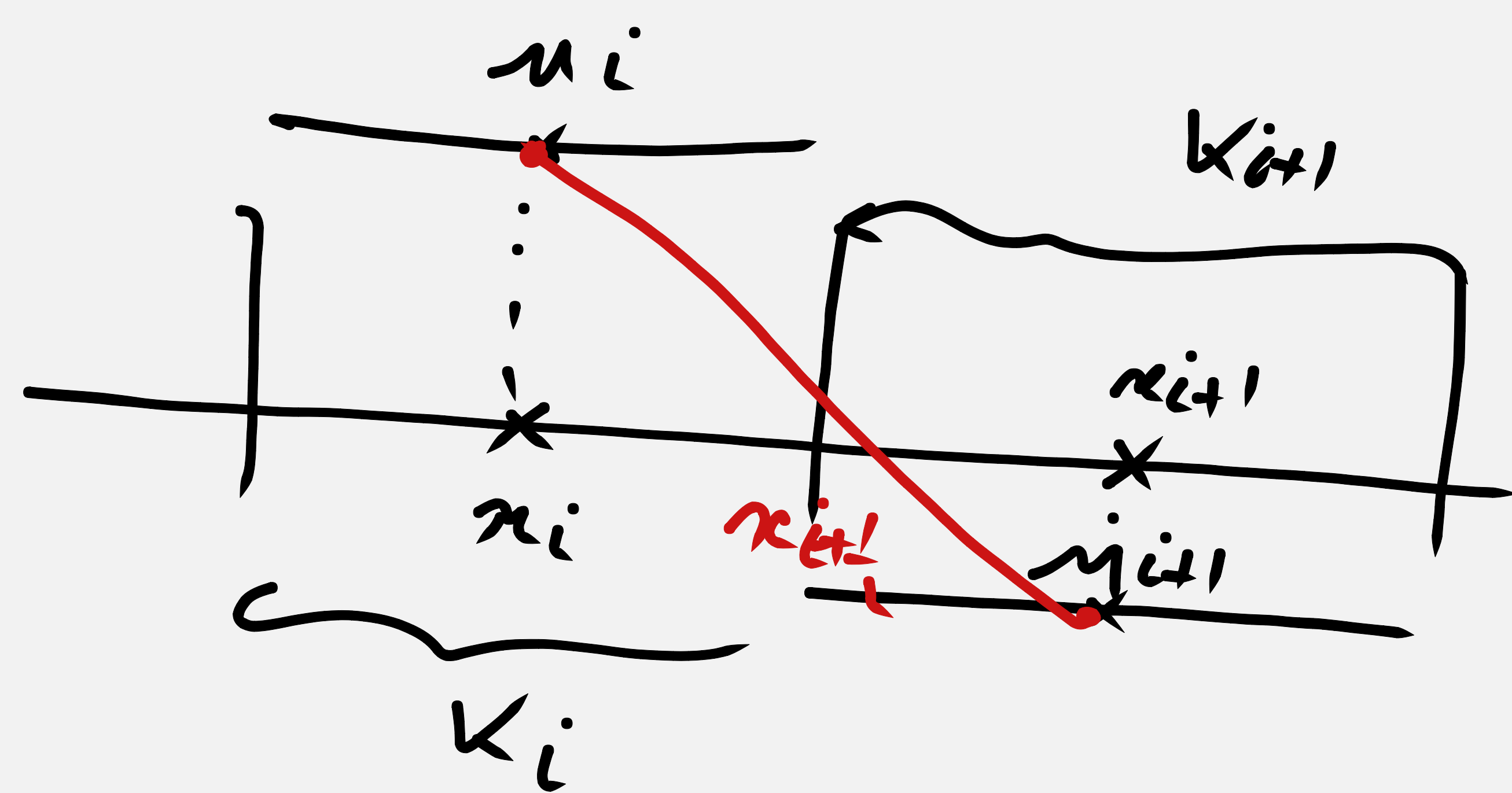


on passe à l'intégrale de la d

$$-u'(x_{i+\frac{1}{2}}) - (-u'(x_{i-\frac{1}{2}})) = \int_{K_i} f(x) dx$$

flux à l'interface $x_{i+\frac{1}{2}}$: $\bar{F}_{i+\frac{1}{2}}(u) = -u'(x_{i+\frac{1}{2}})$

* on définit un flux numérique $\bar{F}_{i+\frac{1}{2}}(u_E)$



Trouver un flux numérique $F_{i+\frac{1}{2}}(u_e)$ qui approxime $-u'(x_{i+\frac{1}{2}})$

$$F_{i+\frac{1}{2}}(u_e) = \frac{u_i - u_{i+1}}{x_{i+1} - x_i} = \frac{u_i - u_{i+1}}{h_{i+\frac{1}{2}}} \quad i = 1, \dots, N-1$$

$$F_{\frac{1}{2}}(u_e) = \frac{u_0 - u_1}{x_1 - x_0} = \frac{0 - u_1}{h_{\frac{1}{2}}}$$

$$F_{N+\frac{1}{2}}(u_e) = \frac{u_N - u_{N+1}}{x_{N+1} - x_N} = \frac{u_N - 0}{h_{N+\frac{1}{2}}}$$

Schéma VF : $u_h \in V_h$ $\perp q$.

$$\left| \begin{array}{l} \overline{F}_{i+\frac{1}{2}}(u_h) - \overline{F}_{i-\frac{1}{2}}(u_h) = \int_{K_i} f(x) dx \quad \forall i=1, \dots, N \end{array} \right.$$

$$\left| \begin{array}{l} \frac{u_i - u_{i+1}}{h_{i+\frac{1}{2}}} - \frac{u_{i-1} - u_i}{h_{i-\frac{1}{2}}} = \int_{K_i} f(x) dx \quad \forall i=1, \dots, N \end{array} \right.$$

$$\left. \begin{array}{l} \overline{\sigma u} \text{ on a point} \\ u_0 = 0 \\ u_{N+1} = 0 \end{array} \right|$$

Consistance des flux :

Soit $u \in C^2([0, L])$, on pose $u_h = I_h u$, i.e.

$$u_h(x) = u_i = u(x_i) \quad \forall x \in K_i \\ \forall i=1, \dots, N$$

on définit l'erreur de consistance des flux

$$\| r_{i+\frac{1}{2}}(u) = -u'(x_{i+\frac{1}{2}}) - \bar{F}_{i+\frac{1}{2}}(I_h u)$$

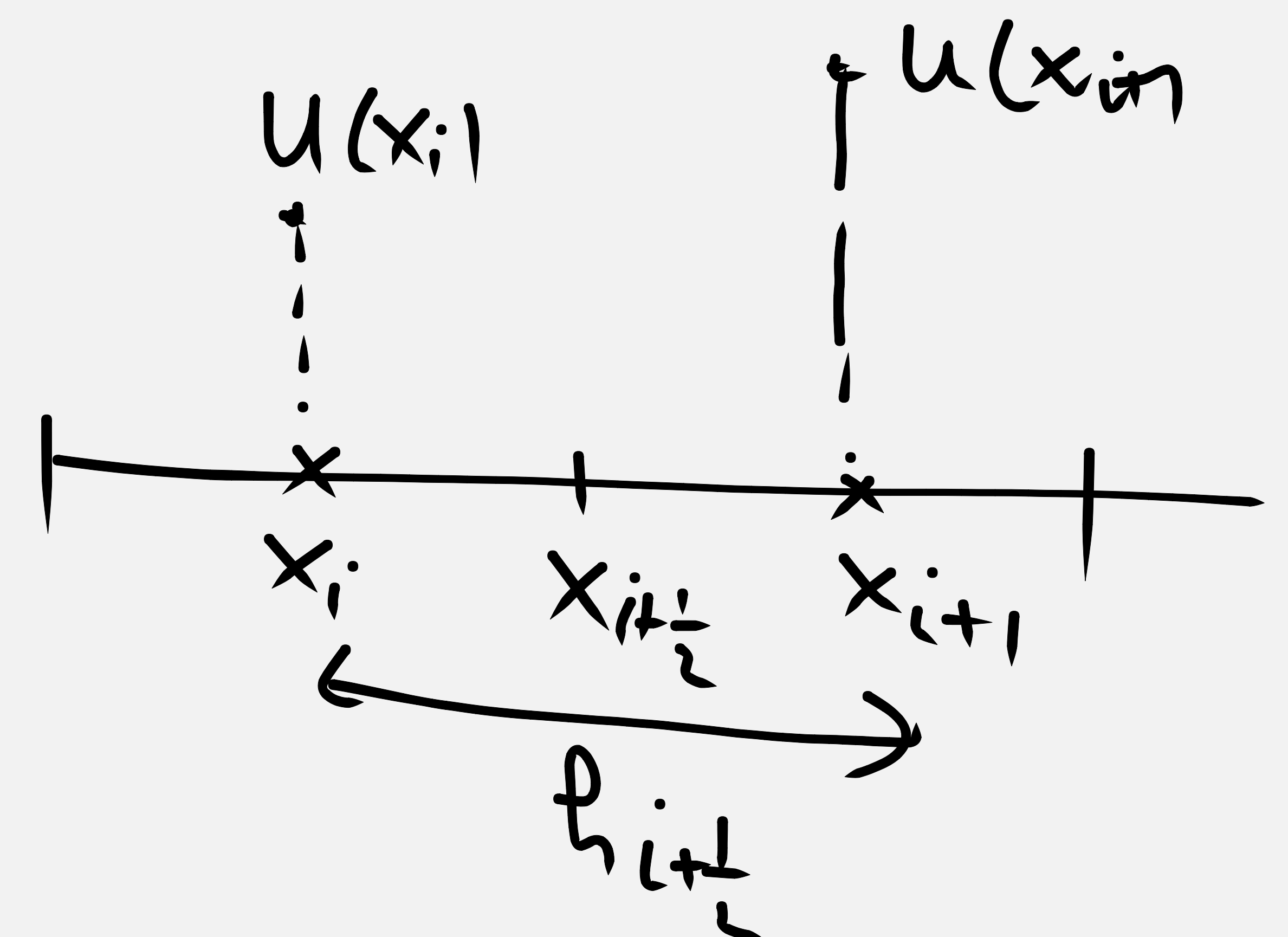
accroissement fini

$$|u'(x) - u'(x_{i+\frac{1}{2}})|$$

$$\leq \max_{y \in [0, L]} |u''(y)| h_{i+\frac{1}{2}}$$

$$= -u'(x_{i+\frac{1}{2}}) - \frac{u(x_i) - u(x_{i+1}))}{h_{i+\frac{1}{2}}} \\ = \frac{1}{h_{i+\frac{1}{2}}} \int_{x_i}^{x_{i+1}} (-u'(x_{i+\frac{1}{2}}) + u'(x)) dx$$

$$\Rightarrow |r_{i+\frac{1}{2}}(u)| \leq \max_{y \in [0, L]} |u''(y)| h_{i+\frac{1}{2}}$$



• formulation variationnelle discrète

$$\left| F_{i+\frac{1}{2}}(u_h) - F_{i-\frac{1}{2}}(u_h) = \int_{K_i} f(x) dx \quad \forall i = 1, \dots, N \right.$$

$$\begin{aligned} \Leftrightarrow \sum_{i=1}^N \underbrace{v_i \left(F_{i+\frac{1}{2}}(u_h) - \underbrace{F_{i-\frac{1}{2}}(u_h)}_{i=j+1} \right)}_{\sum_{i=1}^N v_i F_{i+\frac{1}{2}}(u_h) - \sum_{j=0}^{N-1} F_{j+\frac{1}{2}}(u_h) v_{j+1}} &= \sum_{i=1}^N v_i \int_{K_i} f(x) dx \quad \forall v_h \in V_h \\ &= \sum_{i=1}^N \int_{K_i} f(x) v_h(x) dx = \int_0^L f(x) v_h(x) dx \\ &\text{on pose } \left| \begin{array}{l} v_0 = 0 \\ v_{N+1} = 0 \end{array} \right. \\ &= \sum_{i=0}^N v_i F_{i+\frac{1}{2}}(u_h) - \sum_{i=0}^N F_{i+\frac{1}{2}}(u_h) v_{i+1} \\ &= \sum_{i=0}^N (v_i - v_{i+1}) F_{i+\frac{1}{2}}(u_h) = \sum_{i=0}^N \frac{(v_i - v_{i+1})(u_i - u_{i+1})}{h_{i+\frac{1}{2}}} \end{aligned}$$

schéma VF $\Leftrightarrow \sum_{i=0}^N \frac{(u_i - u_{i+1})(v_i - v_{i+1})}{h_{i+\frac{1}{2}}} = \int_0^L f(x) v_h(x) dx$

c'est la formulation variationnelle discrète du schéma.

$\forall v_h \in V_h$
en posant

$$\begin{cases} u_0 = 0 \\ u_{N+1} = 0 \end{cases}$$

$$\begin{cases} v_0 = 0 \\ v_{N+1} = 0 \end{cases}$$

Définition: produit scalaire H'_0 discret sur V_h :

$$\langle u_h, v_h \rangle_{1,h} = \sum_{i=0}^N \frac{(u_i - u_{i+1})(v_i - v_{i+1})}{h_{i+\frac{1}{2}}}$$

norme associée:

$$\|u_h\|_{1,h} = \sqrt{\sum_{i=0}^N \frac{(u_i - u_{i+1})^2}{h_{i+\frac{1}{2}}}}$$

$$\sum_{i=0}^N \left(\frac{u_i - u_{i+1}}{h_{i+\frac{1}{2}}} \right) \left(\frac{v_i - v_{i+1}}{h_{i+\frac{1}{2}}} \right) h_{i+\frac{1}{2}}$$

Inégalité de Poincaré discrète : $\forall v_h \in V_h$ on a

$$\|v_h\|_L^2 \leq L \|v_h\|_{2,h}$$

preuve:

$$\begin{cases} v_0 = 0 \\ v_{N+1} = 0 \end{cases}$$

$$v_i = \sum_{j=0}^{i-1} |v_{j+1} - v_j|$$

$$|v_i| \leq \sum_{j=0}^N \underbrace{|v_{j+1} - v_j|}_{\sqrt{h_{j+\frac{1}{2}}}} \underbrace{\sqrt{h_{j+\frac{1}{2}}}}_{1}$$

$$\leq \underbrace{\sqrt{\sum_{j=0}^N \frac{(v_j - v_{j+1})^2}{h_{j+\frac{1}{2}}}}}_{\|v_h\|_{2,h}} \underbrace{\sqrt{\sum_{j=0}^N h_{j+\frac{1}{2}}}}_{\sqrt{L}}$$

$$\begin{aligned} \|v_h\|_L^2 &= \int_0^L (v_h(x))^2 dx = \sum_{i=1}^N \int_{x_i} (v_i)^2 dx = \sum_{i=1}^N h_i (v_i)^2 \\ &\leq \underbrace{\left(\sum_{i=1}^N h_i \right)}_L \|v_h\|_{2,h}^2 \leq L^2 \|v_h\|_{2,h}^2 \end{aligned}$$

Estimation a priori: toute solution $u_h \in V_h$ du schéma VF
 vérifie $\|u_h\|_{2,h} \leq L \|f\|_L^2$

preuve: on pose $v_h = u_h$ dans la formulation variationnelle discrète

$$\langle u_h, u_h \rangle_{1,h} = \int_0^L f(x) u_h(x) dx$$

C.S. \Rightarrow

$$\|u_h\|_{1,h}^2 \leq \|f\|_L \|u_h\|_L$$

inégalité de Cauchy-Schwarz \Rightarrow

$$\|u_h\|_{1,h}^2 \leq \|f\|_L^2 L \|u_h\|_{1,h}$$

$$\Rightarrow \|u_h\|_{1,h} \leq L \|f\|_L^2$$

Rq: implique l'unicité de la solution car le schéma est linéaire

\Rightarrow Comme le schéma s'écrit comme un système linéaire

$$A_k U_k = S_k \quad \text{avec} \quad U_k = \begin{pmatrix} u_2 \\ \vdots \\ u_N \end{pmatrix} \in \mathbb{R}^N$$

et A_k une matrice carrée de taille N

l'unicité de solution implique que $\text{Ker } A_k = \{0\}$ donc A_k est inversible et donc le schéma admet une solution unique.

Rq: A_k est SDP $\quad \langle A_k U_k, V_k \rangle = \langle U_k, v_k \rangle_{\mathbb{R}^N}$